5

## ТЕОРИЯ УПРУГОСТИ

# Б. Л. Абрамян и А. А. Баблоян

# Кручение анизотропного цилиндра

(Представлено Н. X. Арутюняном 18.X.1958)

Рассматривается задача о кручении круглого сплошного цилиндра, обладающего цилиндрической анизотропией частного вида, а именно, ось анизотропии совпадает с геометрической осью цилиндра, и все радиальные плоскости являются плоскостями упругой симметрии.

В данной работе скручивающая нагрузка задается на боковой поверхности цилиндра произвольным образом, а на торцах его — силами, приводящимися к двум моментам с векторами, параллельными оси z.

Будем пользоваться цилиндрической системой координат. Направим ось z по оси цилиндра.

Тогда решение задачи о кручении круглого цилиндра с анизотропией указанного вида, как показано С. Г. Лехницким ( $^{1,2}$ ), сводится к определению функции напряжений  $\Phi(r,z)$ , удовлетворяющей в области осевого сечения цилиндра уравнению

$$\frac{\partial^2 \Phi}{\partial r^2} - 2m \frac{\partial^2 \Phi}{\partial r \partial z} + n^2 \frac{\partial^2 \Phi}{\partial z^2} - \frac{3}{r} \frac{\partial \Phi}{\partial r} + \frac{3m}{r} \frac{\partial \Phi}{\partial z} = 0, \tag{1}$$

где

$$m = \frac{a_{46}}{a_{44}}, \qquad n^2 = \frac{a_{66}}{a_{44}}, \tag{2}$$

 $a_{ij}$  — упругие постоянные,

$$\gamma_{0z} = \frac{\partial v}{\partial z} = a_{44}\tau_{0z} + a_{46}\tau_{r0}$$

$$\gamma_{r\theta} = r \frac{\partial}{\partial r} \left(\frac{v}{r}\right) = a_{46}\tau_{0z} + a_{66}\tau_{r\theta}$$
(3)

т перемещение в тангенциальном направлении,  $\tau_{0z}$  и  $\tau_{r0}$  скалывающие напряжения, выражающиеся через функцию  $\Phi(r,z)$  соотношениями

$$\tau_{r\theta} = -\frac{1}{r^2} \frac{\partial \Phi}{\partial z}$$

$$\tau_{z\theta} = -\frac{1}{r^2} \frac{\partial \Phi}{\partial r}$$
(4)

Значения функции  $\Phi(r,z)$  на торцах и боковой поверхности цилиндра задаются так, чтобы удовлетворились условия распределения скручивающей нагрузки

$$-M_{1} = 2\pi \int_{0}^{R} r^{2} \tau_{\theta z}(r, 0) dr$$

$$M_{2} = 2\pi \int_{0}^{R} r^{2} \tau_{\theta z}(r, l) dr$$

$$\tau_{\theta r}(R, z) = f(z),$$
(5)

где функция f(z) кусочно непрерывна и имеет ограниченное изменение в интервале (0, l).

Решение уравнения (1) может быть найдено по способу С. Г. Лехницкого (1), переходя к новым переменным р и связанным со старыми зависимостями

$$p = r,$$
  $\xi = \frac{z + mr}{\sqrt{n^2 - m^2}}.$  (6)

Тогда уравнение (1) примет вид

$$\frac{\partial^2 \Phi}{\partial \rho^2} + \frac{\partial^2 \Phi}{\partial \xi^2} - \frac{3}{\rho} \frac{\partial \Phi}{\partial \rho} = 0. \tag{7}$$

Решениями этого уравнения являются следующие функции

$$\rho^{2} \left[ AJ_{2} \left( \lambda \rho \right) + BY_{2} \left( \lambda \rho \right) \right] \left( C \sinh \lambda \xi + D \cosh \lambda \xi \right),$$

$$\rho^{2} \left[ AI_{2} \left( \lambda \rho \right) + BK_{2} \left( \lambda \rho \right) \right] \left( C \sin \lambda \xi + D \cos \lambda \xi \right),$$

$$\xi, \, \rho^{4}, \, \rho^{4} \xi,$$

$$(8)$$

где  $J_2(x)$ ,  $Y_2(x)$  — функции Бесселя второго порядка, соответственно первого и второго рода, а  $I_2(x)$  и  $K_2(x)$  — функции Бесселя первого и второго рода от мнимого аргумента ( $^3$ ).

Для сплошного цилиндра решение уравнения (7) берем в виде

$$\Phi\left(\rho,\xi\right) = \rho^4 \left(A\xi + B\right) + \rho^2 \sum_{k=1}^{\infty} D_k I_2\left(\lambda_k \rho\right) \sin \lambda_k \xi \tag{9}$$

или в старых координатах:

$$\Phi(r, z) = r^{4} |A(z + mr) + B| + r^{2} \sum_{k=1}^{\infty} D_{k} I_{2}(\lambda_{k} r) \sin \lambda_{k} \frac{z + mr}{\sqrt{n^{2} - m^{2}}}.$$
 (10)

Пользуясь соотношениями (4) и (10), для скалывающих напряжений ты и получим следующие выражения

$$\tau_{r0}(r,z) = -Ar^2 - \sum_{k=1}^{\infty} \frac{D_k \lambda_k}{\sqrt{n^2 - m^2}} I_2(\lambda_k r) \cos \lambda_k \sqrt{\frac{z + mr}{n^2 - m^2}}.$$
(11)

$$r_{0z}(r,z) = r \left[ 4 \left[ A \left( z + mr \right) + B \right] + Amr \right] +$$

$$+ \sum_{k=1}^{\infty} D_{k} \lambda_{k} \left[ I_{1}(\lambda_{k}r) \sin \lambda_{k} \frac{z + mr}{\sqrt{n^{2} - m^{2}}} + \frac{mI_{-}(\lambda_{k}r)}{\sqrt{n^{2} - m^{2}}} \cos \lambda_{k} \frac{z + mr}{\sqrt{n^{2} - m^{2}}} \right] \cdot (12)$$

Представив функцию f(z) в виде ряда Фурье

$$f(z) = a_0 + \sum_{k=1}^{\infty} a_k \cos \lambda_k \frac{z + mR}{\sqrt{n^2 - m^2}} - mR < z < l, \qquad (13)$$

где

$$L_k = \frac{k\pi V n^2 - m^2}{l + mR}. (14)$$

$$a_0 = \frac{1}{l+mR} \int_0^l f(z) dz,$$

$$a_k = \frac{2}{l+mR} \int_0^l f(z) \cos \frac{k\pi (z+mR)}{l-mR} dz,$$
(15)

и удовлетворив условиям (5), для постоянных интегрирования получим следующие значения

$$A = -\frac{a_0}{R^2}, \qquad B = -\frac{M_2}{2\pi R^4} + a_0 \frac{l + mR}{R^2},$$

$$D_k = -\frac{a_k V n^2 - m^2}{\lambda_k l_2 (\lambda_k R)}, \qquad (16)$$

а также следующее разенство

$$\frac{M_1 + M_2}{2\pi R^2} = a_0 l - 1 \frac{n^2 - m^2}{n^2 - m^2} \sum_{k=1}^{\infty} \frac{a_k}{n^k} \sin \lambda_k \frac{mR}{\sqrt{n^2 - m^2}}$$
(17)

которое представляет собой уравнение равновесия сил, действующих на цилиндр.

Подставдяя значения (16) в (11) и (12), для напряжений тен н получим следующие формулы

$$\tau_{r0}(r,z) = a_0 \frac{r^2}{R^2} + \sum_{k=1}^{\infty} a_k \frac{I_3(\lambda_k r)}{I_3(\lambda_k R)} \cos \lambda_k \frac{z + mr}{\sqrt{n^2 - m^2}},$$
 (18)

$$\tau_{\theta z}(r,z) = r \left\{ \frac{4a_0}{R^2} \left[ l - z + m \left( R - r \right) \right] - \frac{a_0 m r}{R^2} - \frac{2M_1}{\pi R^2} \right\} - \frac{\sum_{k=1}^{\infty} \frac{a_k}{l_2 \left( \lambda_k R \right)} \left[ m l_1 \left( \lambda_k r \right) \cos \frac{\lambda_k (z + m r)}{\sqrt{n^2 - m^2}} + \frac{1}{\sqrt{n^2 - m^2}} l_1 \left( \lambda_k r \right) \sin \frac{\lambda_k (z + m r)}{\sqrt{n^2 - m^2}} \right] + \frac{1}{\sqrt{n^2 - m^2}}$$
(19)

В качестве численного примера рассмотрим кручение анизотропного цилиндра с размерами

$$\frac{l}{R} = \pi, \tag{20}$$

с коэффициентами анизотропни

$$a_{44} = \frac{1}{G_{\theta z}} \qquad a_{66} = \frac{1}{G_{r\theta}} \qquad a_{46} = \frac{\mu_{r\theta, \theta z}}{G_{\theta z}} = \frac{\mu_{\theta z, r\theta}}{G_{r\theta}}, \tag{21}$$

где  $G_{0z}$  и  $G_{r0}$  — модули сдвига для плоскостей, параллельных плоскостям  $\theta oz$  в  $ro\theta$ ;  $\mu_{r0,0z}$  и  $\mu_{\theta z,r0}$  — коэффициенты угловой деформации первого рода, или "коэффициенты Ченцова", где первые два индекса соответствуют направлениям сдвига, а вторые два — вызвавшим его касательным напряжениям.

Полагая материал цилиндра из древесины и принимая (4)

$$\frac{G_{0x}}{G_{r\theta}} = 2;$$
  $G_{0x} = 1 \times 10^4 \ \kappa r/c m^2;$   $G_{r\theta} = 0.5 \times 10^4 \ \kappa r/c m^2,$  (22)

в также

$$\mu_{r\theta}, \theta_z = 0.6; \quad \mu_{\theta z, r\theta} = 0.3,$$
 (23)

будем иметь

$$m = \frac{a_{46}}{a_{44}} = \mu_{r0, 6z} = 0,6,$$

$$n = \sqrt{\frac{a_{66}}{a_{44}}} = \sqrt{2}.$$
(24)

Если цилиндр скручивается силами, приложенными на участках боковой поверхности

$$f(z) = \begin{cases} -p & z \le l_1 = \frac{l}{4} \\ 0 & l_1 < z < l - l_1 \\ p & l - l_1 < z < l, \end{cases}$$
(25)

а торцы свободны от внешней нагрузки, тогда

$$M_{1} = M_{2} = a_{0} = 0$$

$$a_{k} = \frac{2p}{k\pi} \left[ (-1)^{k} \sin \frac{k\pi l_{1}}{l + mR} - 2 \sin \frac{k\pi l_{1}}{2(l + mR)} \cos \frac{k\pi (l_{1} + 2mR)}{2(l + mR)} \right]$$
(26)

Такая задача для изотропного цилиндра была рассмотрена Л.  $\phi$ айлоном ( $^{5}$ ).

В табл. 1 и 2 соответственно приведены некоторые значения напряжений  $\tau_{r0}$  и  $\tau_{z0}$ , подсчитанные по формулам (18) и (19) при значениях (24) и (26).

На фиг. 1 и 2 приводятся эпюры напряжений и тыг.

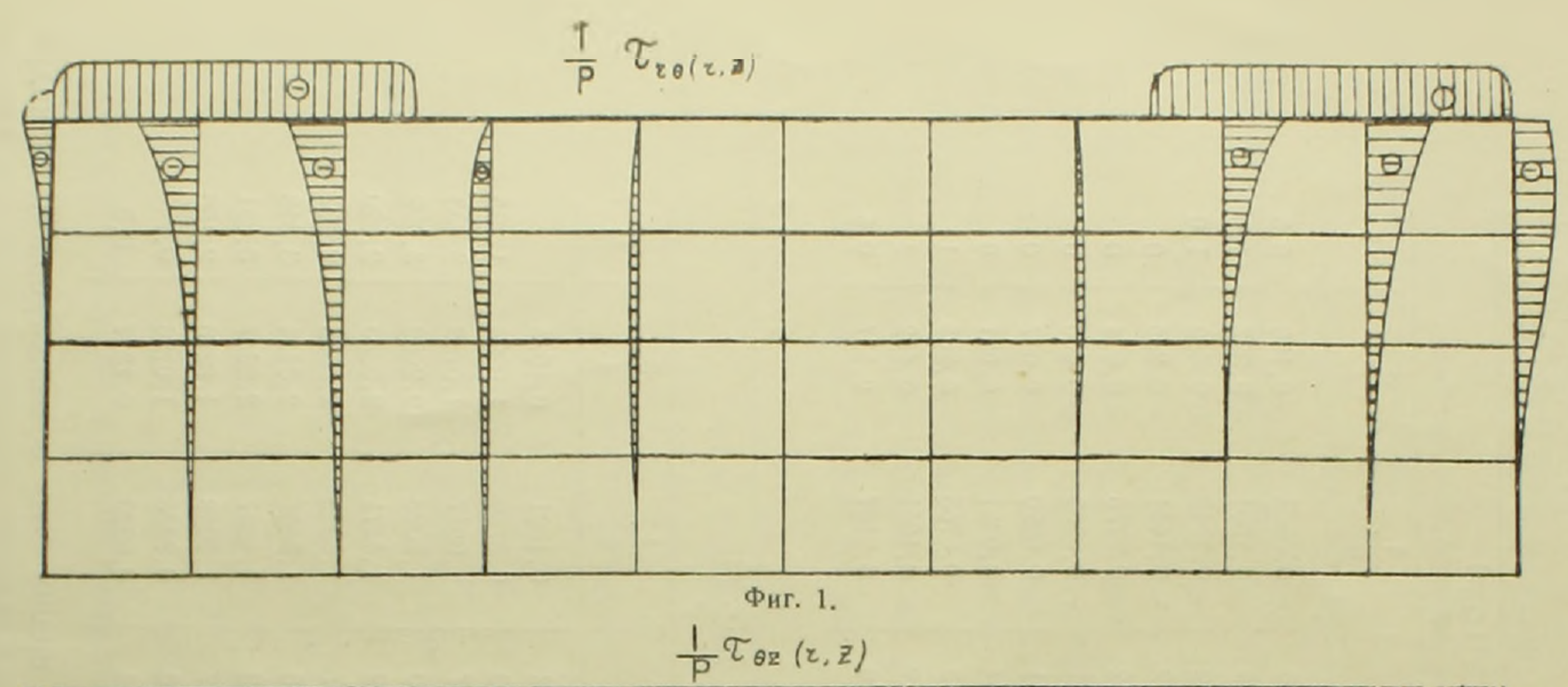
Таблица 1

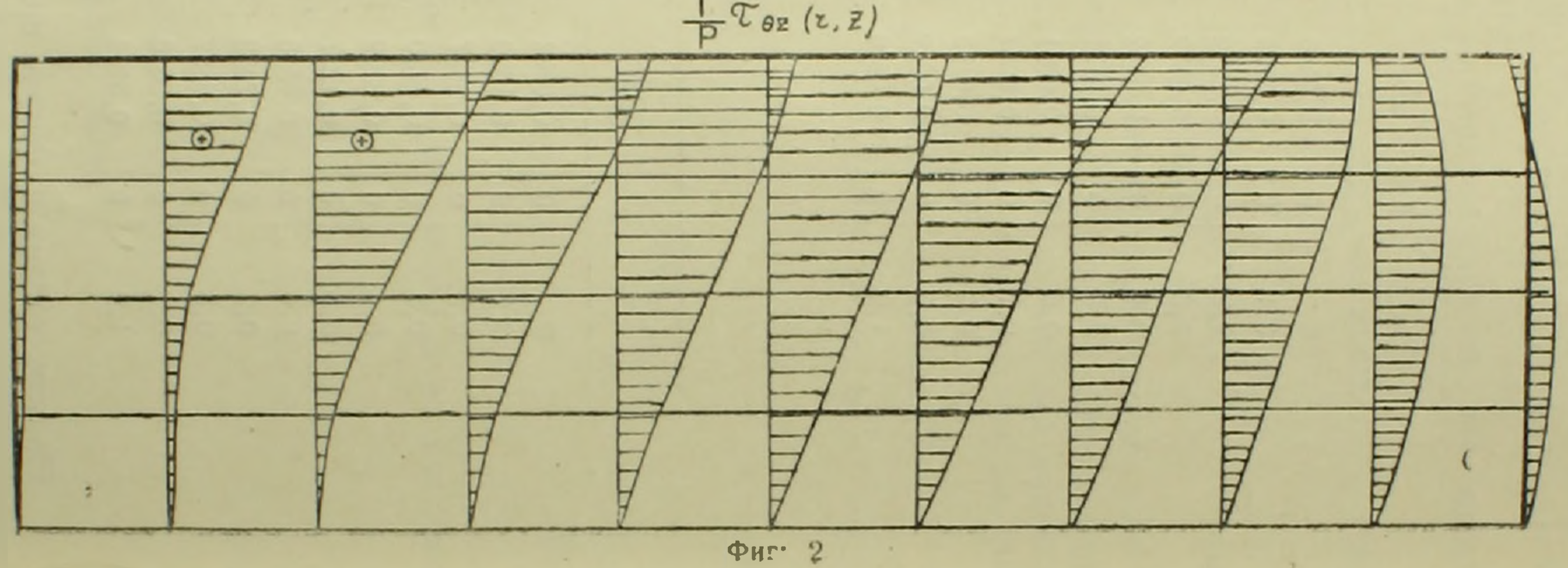
Tr0 (r, z)									
r/R 0		0	1	1	3	1			
z/l 4 2 4									
	0	0	-0,0149	-0,0615	-0,160	-0,5			
	0,1	0	-0,0240	-0,1201	-0,387	-1,0			
	0,2	0	-0.0352	-0.1643	-0,440	-1,0			
	0,3	0	-0.0372	-0,1431	-0,265	0			
	0,4	0	-0.0252	-0.0776	-0.074	0			
	0,5	0	-0,0134	-0,0263	-0,006	0			
	0,6	0	-0,0031	0,0020	0,017	0			
	0.7	0	0.0051	0,0321	0,081	0			
	0.8	0	0,0166	0,0765	0,285	1			
	0,9	0	0.0329	0,1661	0,482	1			
	1,0	0	0,0480	0,2167	0,537	0,5			
			1-			1			

Таблица 2

$\frac{\tau \theta_Z(r, z)}{p}$									
z/l	0	$\frac{1}{4}$	1 2	3 4	1				
0	0	0,0392	0,1301	0,1675					
0,1	0	0,1329	0,3789	1,0968	1,765				
0,2	0	0,2857	1,0547	1,6719	3,033				
0.3	0	0,4730	1,2023	2,2909	3,009				
0.4	0	0,6299	1,4471	2,3855	2,920				
0.5	0	0.7217	1,5295	2,3568	2,907				
0,6	0	0.7546	1,5357	2,3414	3,648				
0,7	0	0,7452	1,4857	2,2647	3,381				
0,8	0	0,6597	1,3048	1,9270	2,156				
0,9	0	0,5616	0,9538	1.0726	0,7				
1,0	0	0,3114	0,4223	0,1227	-0,3				

Из этих таблиц и фигур видно, что в анизотропном цилиндре также напряжения то, по мере удаления от торцов цилиндра, вблизи воторых приложена скручивающих нагрузка, быстро уменьшаются в стремятся к нулю.





Однако распределение напряжений не симметрично у торцов цилиндра относительно среднего поперечного сечения цилиндра.

Распределение же напряжений то в среднем поперечном сечении стержня приближается к линейному закону.

Институт математики и механики Академии наук Армянской ССР Ереванский государственный университет

#### F. L. UFPUZUUBUV E.L. U. U. FUFLOBUV

## Մենիզո որոպ գլանի ոլորումը

Հողվածում դիտարկվում է հած, կլոր, մասնակի ձևով անիդոտրոպ գլանի ոլորման ինդիրը։ Անիզոտրոպիայի առանցքը համբնկնում է գլանի նրկրաչափական առանցքի հևտ և բոլոր ռադիալ հարԹուԹյունները հանդիսանում ևն առաձգական աիմետրիայի հար-PaւPյուններ։

Գլանը ոլորող ուժերը նրա կողմնային մակնըևույթի վրա տրվում են կամավոր կերպով, իսկ հիմքերի վրա՝ այնպիսի ուժերով, որոնք բերվում են գյանի առանցքին զու– գահեռ վեկտորներով երկու մոմենաներիչ

Խնդիրը լուծվում է Ս.Գ. Լևիւնիցկու(1-2) կողմից առաջարկված հղանակով որը Սույլ է տալիս լարման ֆունկցիայի համար ստացված դիֆերենցիալ հավասարումը լուծել Ֆուրյեի փոփոխականների անջատման եղանակով։

հերով։

Խերով։

Դիտարկված Թվային օրինակում վերցված է հոծ դլան, որը ոլորվում է միայն կողմնային մակնընույթի տարբեր մասերի վրա կիրառված ուժերով։

Գլանի առանցրային կտրվածրի տարրեր կետերի համար հաչվված են լարումները։
«աչվումները կատարված են ենթադրելով, որ դլանը փայտից է։ Փայտի առաձգական զործակիցները վերցված են Ա. Ն. Միտինսկու() աչխատությունից։ Լարումների համար կազքրված են աղյուսակներ և էպյուրներ։

## ЛИТЕРАТУРА — ԳՐԱԿԱՆՈՒԹՅՈՒՆ

<sup>1</sup> С. Г. Лехницкий, Теория упругости анизотропного тела, Госиздат техникотеоретической лит., стр. 250, М.—Л., 1950. <sup>2</sup> С. Г. Лехницкий, ПММ, том IV, вып. 3, 1940. <sup>3</sup> Э. Грей и Г. Б. Мэтьюз, Функции Бесселя и их приложения к физике и мечанике, Госиноиздат, М., 1953. <sup>4</sup> А. Н. Митинский, Упругие постоянные древесины, как ортогропного материала, Труды лесотехнической академии имени С. М. Кирова, № 63, Ленинград, 1948. <sup>5</sup> Л. Файлон, (L. N. G. Filon) "On the Elastic Equilibrium of Circular Cylinders under Certain Practical Systems of Load\*. Philosophical Transactions of the Royal Society of London, Ser. "A\*, Vol. 198, 1902, pp. 147—233.